

06.2; 06.3; 07

© 1992

ВОЗМОЖНОСТЬ САМОСИНХРОНИЗАЦИИ МОД  
В ПОЛУПРОВОДНИКОВОМ ЛАЗЕРЕ С ВНЕШНИМ РЕЗОНАТОРОМ

С.Н. Красовская, С.В. Жестков,  
В.И. Лебедев, В.А. Юревич

В последнее время опубликованы работы, в которых сообщается о том, что синхронизация мод в полупроводниковом лазере может быть достигнута за счет внешнего резонатора, содержащего нелинейный элемент [1-3].

Известно, что в инжекционных лазерах на основе *GaAs* зависимость показателя преломления на частоте генерации от населенности рабочих уровней весьма существенна [4]. В сочетании с внешним отражателем целинейный лазерный диод образует оптическую колебательную систему, излучающую регулярную последовательность импульсов с частотами, определяемыми ее релаксационными параметрами [5]. В настоящем сообщении на основе расчетного анализа сформулированы условия самосинхронизации мод в инжекционном лазере с внешним резонатором, не содержащем дополнительных пассивных элементов.

Кинетика генерации полупроводникового лазера описывается пространственно-временными уравнениями для встречных потоков насыщающего светового поля  $E_+$ ,  $E_-$  и коэффициента усиления  $n$ :

$$\pm \frac{\partial E_{\pm}}{\partial x} + \frac{2}{c} \frac{\partial E_{\pm}}{\partial t} = [n + i\beta \frac{\omega}{c} (n_0 - n)] E_{\pm}, \quad (1)$$

$$\frac{\partial n}{\partial t} = \frac{1}{\tau_i} [\alpha - (1 + E_+^2 + E_-^2) n], \quad (2)$$

решаемыми в совокупности с граничными условиями, соответствующими интерференции и отражению световых волн на торцах диода и внешнем зеркале с коэффициентами отражения  $r_o$  и  $r$  (см. рисунок 1, а). Эти условия имеют вид:

$$\begin{aligned} E_+(0, t) &= -r_o E_-(0, t), \\ E_-(l, t) &= -r_o E_+(l, t) - (1 + r_o)r E(t - T), \\ E(t) &= (1 - r_o)E_+(l, t) - r_o r E(t - T), \end{aligned} \quad (3)$$

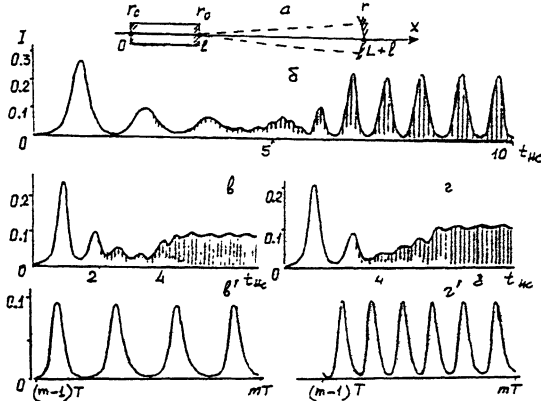


Схема расположения элементов в резонаторе (а) и временная зависимость интенсивности излучения (регулярная структура, обусловленная самосинхронизацией мод, выделена схематически (б-г)) для параметров  $N = 3$ ,  $\alpha = 1.32$ ,  $r = 0.63$  (б),  $N = 4$ ,  $\alpha = 1.44$ ,  $r = 0.64$  (в),  $N = 6$ ,  $\alpha = 1.48$ ,  $r = 0.67$  (г, г'),  $\gamma = 3.58$ ,  $\tau_1 = 1.5 \cdot 10^{-9}$  с,  $l = 3.0 \cdot 10^{-4}$  м,  $\omega = 2.14 \cdot 10^{15}$  рад·с<sup>-1</sup>

где  $c$  – скорость света,  $\omega$  – несущая частота,  $I_0$  – начальный уровень усиления,  $\alpha$  – параметр тока накачки,  $\tau_1$  – время спонтанной рекомбинации свободных носителей,  $E(t)$  – световое поле внешнего резонатора,  $L$  – его длина,  $l$  – длина активного слоя,  $T = 2 \frac{L}{c}$  – время обхода светом внешнего резонатора. Параметр  $\beta$  пропорционален коэффициенту связи изменения показателя преломления активного слоя лазерного диода с концентрацией носителей, величина которого составляет  $3 \dots 5 \cdot 10^{-21}$  см<sup>3</sup> [4].

Для качественного анализа динамики нелинейных колебаний системы лазерный диод – внешнее зеркало, определяющих временную структуру интенсивности лазерного излучения  $I(t) = |E_+(l, t)|^2$ , представляется целесообразным аналогично [6] перейти от (1)–(3) к эквивалентной интегро-дифференциальной системе для сосредоточенных параметров лазера, также учитывающей пространственную разнесенность элементов резонатора. Линеаризация полученных уравнений в окрестности особой точки  $I_0 = \alpha - 1$ ,  $\alpha = 1$  дает возможность сформулировать характеристическое уравнение, описывающее спектр гармонических решений для малого отклонения  $\Delta I = \sum \alpha_i e^{-\rho_i t}$ , в виде:

$$\frac{r_0^2 e^{\rho T} + r^2 - 2r_0^2 r^2}{e^{\rho T} - r_0^2 r^2} [(\alpha - 1)G - \alpha - \rho \tau_1] +$$

$$+ \frac{(1-r_0^2)r_0^2 r^2}{1-r_0^2 r^2 e^{-\rho T}} \cdot \frac{1-e^{-\rho T}}{1-r_0^2 r^2} \times \\ [2(\alpha + \rho \tau_1)(e^{-\rho T/2} - r_0 r) - (\alpha - 1)(1 + e^{-\rho T} - 2r_0^2 r^2)G] = \quad (4)$$

$$= R^2 (\alpha + \rho \tau_1) e^{\rho \tau},$$

$$\text{где } R = \frac{r_0 + r}{1 + r_0 r}, \quad G = \ln \frac{1}{r_0 R}, \quad \tau = \frac{2\eta L}{c}, \quad \alpha_i \text{ определяется начальными условиями.}$$

Модуляция с частотой межмодовых биений, соответствующая случаю синхронизации мод лазерного диода, проявляется в виде осцилляций интенсивности с периодом  $\tau$ . Численное решение уравнений (4) относительно  $P_i$  для лазера на основе  $GaAs$  показывает, что корни, соответствующие незатухающему характеру таких колебаний ( $Re P_i$ ) в окрестности  $I_0$ , существуют при условии  $r^2 \geq 0.63$ . Расстояние от внутреннего торца лазерного диода до внешнего отражателя должно быть близким, но не равным, к значениям, кратным оптической длине активного слоя, т.е.

$$L \approx 2\eta l, \quad 4\eta l, \dots, 2N\eta l. \quad (5)$$

Необходимое повышение порогового уровня генерации (параметр  $\alpha$ ) оказывается зависимым от величины  $r$  и лежит в пределах 1.30...1.56.

Анализ результатов численного интегрирования системы (1)-(3), проведенного методом характеристик [7], свидетельствует о том, что интересующий нас режим излучения должен проявиться именно в диапазоне параметров, предсказываемом решением уравнения (4), описывающего характеристики осцилляций в ограниченной области фазового пространства. Расчеты проводились для начальных условий, соответствующих пороговому усилению, т.е.  $n(x, 0) = n_0 \geq 1$ , начальное распределение интенсивности на промежутке  $L$  принималось однородным, по величине значительно меньшим  $I_0$ .

Модуляция с периодом  $\tau$  на фоне релаксационных колебаний начинает проявляться на фазе перехода к режиму автоколебаний (см. рисунок, б). Впоследствии глубина модуляции приближается к 100%, а низкочастотная составляющая интенсивности формируется при этом в виде регулярных осцилляций в наносекундном диапазоне длительности, возможность их осуществления связана с нелинейностью и подробно обоснована в [5, 8]. Для величин  $L$ , соответствующих значениям кратности  $N = 1, 2, 3$  в (5) возможен режим контрастных высокочастотных пульсаций, амплитуда которых может периоди-

чески изменяться с частотой автоколебаний в пределах нескольких процентов от некоторого среднего значения (см. рисунок, в, г). При отсутствии нелинейности ( $\beta=0$ ) расчетная модель (1)-(3) не описывает режим автоколебаний.

Физический механизм формирования структуры излучения с периодом  $\tau$  сходен с описываемым в [9]. Возникновение всплеска в распределении интенсивности по резонатору связано с динамическим интерференционным характером взаимодействия встречных световых потоков излучения в резонаторе, модулированных по фазе. Последующее воздействие на излучение таких эволюционных факторов, как усиление и насыщение активного слоя с корреляцией в моменты  $t-T$  и  $t$ , в расчетах отражаемой заданием граничных условий (3), создает картину генерации, характерную для режима самосинхронизации мод.

Таким образом, данные настоящего анализа свидетельствуют о возможности создания автогенератора пикосекундного диапазона, состоящего из лазерного диода, накачиваемого постоянным током, и внешнего отражателя. Такой источник импульсов может оказаться полезным в перспективных устройствах оптической связи и обработки информации.

#### С п и с о к   л и т е р а т у р ы

- [1] Mark J., Liu L.Y., Hall K.L., Hauss H.A., Ippen E.P. // Opt. Lett. 1989. V. 14. N 1. P. 48-50.
- [2] Ippen E.P., Hauss H.A., Liu L.Y. // J. Opt. Soc. Amer. 1989. V. B6. N 9. P. 1736-1745.
- [3] Kong M.N., Chee J.K., Liu J.M. // Opt. Lett. 1991. V. 16. N 2. P. 73-75.
- [4] Елисеев П.Г., Богатов А.П. // Труды ФИАН. 1986. Т. 166. С. 15-31.
- [5] Лебедев В.И., Юрьевич В.А. // Изв. АН БССР. Сер. физ.-мат. наук. 1990. № 6. С. 60-64.
- [6] Самсон А.М., Котомцева Л.А., Лойко Н.А. Автоколебания в лазерах. Минск: Наука і тэхніка, 1990. 280 с.
- [7] Рождественский Б.Л., Яненко Н.Н. Системы квазилинейных уравнений и их приложения к газовой динамике. М.: Наука, 1986. 592 с.
- [8] Борисов В.И., Лебедев В.И., Юрьевич В.А. // Журнал прикладной спектроскопии. 1989. Т. 51. № 2. С. 207-212.
- [9] Кононенко В.К., Миликевич А.В., Силиевич И.И. // Изв. АН СССР. сер. физ. 1989. Т. 53. № 4. С. 799-802.